

《请您诊断》病例 147 答案：罕见鼻咽部肉瘤样癌

王莹莹，王彩鸿，程敬亮

【关键词】 肉瘤样癌；鼻咽肿瘤；磁共振成像

【中图分类号】 R445.2;R739.63 【文献标识码】 D 【文章编号】 1000-0313(2020)11-1491-02

DOI:10.13609/j.cnki.1000-0313.2020.11.025

开放科学(资源服务)标识码(OSID):

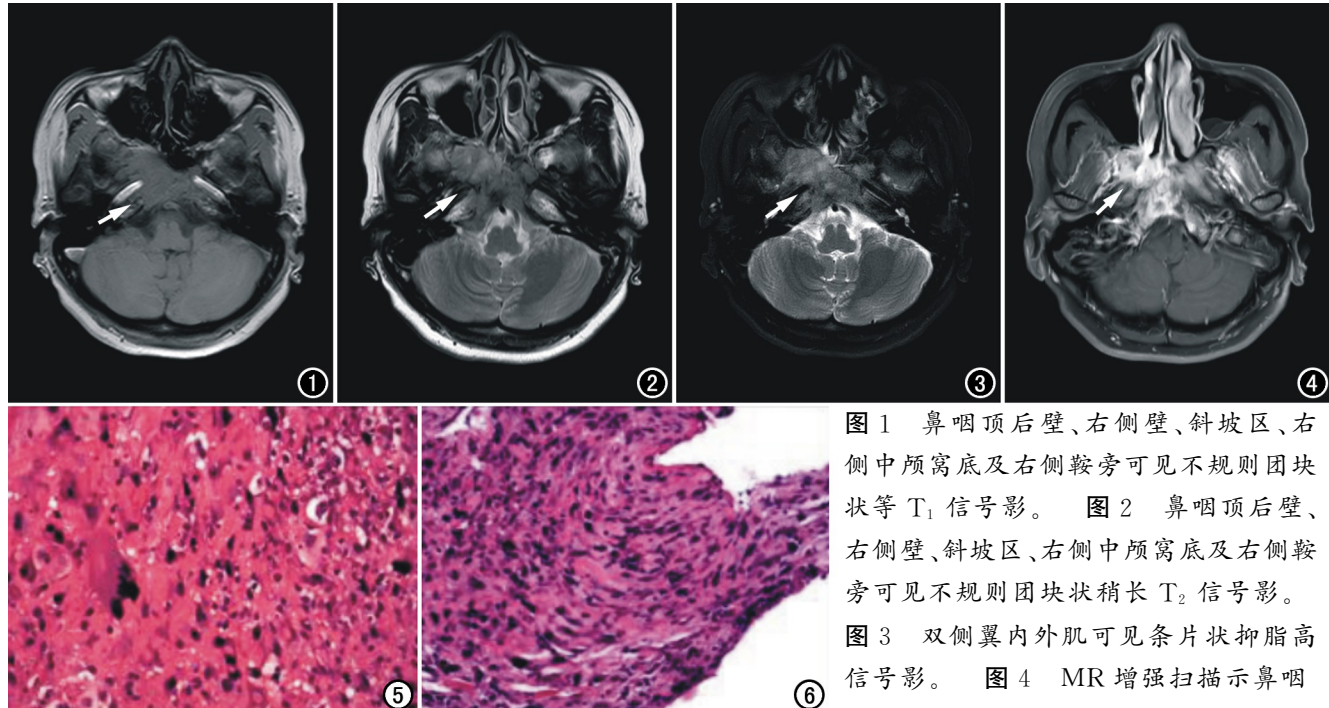


图 1 鼻咽顶后壁、右侧壁、斜坡区、右侧中颅窝底及右侧鞍旁可见不规则团块状等 T_1 信号影。图 2 鼻咽顶后壁、右侧壁、斜坡区、右侧中颅窝底及右侧鞍旁可见不规则团块状稍长 T_2 信号影。

图 3 双侧翼内外肌可见条片状抑脂高信号影。图 4 MR 增强扫描示鼻咽

顶后壁、右侧壁、斜坡区、右侧中颅窝底及右侧鞍旁病变呈明显不均匀强化，边界不清，右侧蝶骨及颞骨不均匀强化。图 5 镜下见排列成片、巢状的肿瘤上皮细胞($\times 200$, HE)。图 6 镜下见排列杂乱无章的梭形细胞($\times 200$, HE)。

病例资料 患者，女，35岁，因“伸舌偏斜4个月，右侧面部麻木5天”入院。患者4个月前无明显诱因出现伸舌偏斜，5天前出现右面部麻木。在当地医院药物治疗，效果不佳。影像学检查：头部MRI(图1~4)示：鼻咽顶后壁、右侧壁、斜坡区、右侧中颅窝底及右侧鞍旁可见不规则团块状等 T_1 稍长 T_2 信号，病灶向外侵及至右侧咽旁间隙，与右侧蝶骨及颞骨分界不清，部分包绕右侧颈内动脉岩内段，双侧咽隐窝尚存在。双侧翼内外肌可见条片状压脂高信号影。双侧鄂扁桃体肿大。蝶窦、双侧筛窦粘膜增厚，左侧上颌窦内可见片状长 T_2 信号。垂体、视交叉显示可。双侧颈部可见多发结节状压脂高信号。增强扫描见鼻咽顶后壁、

右侧壁、斜坡区、右侧中颅窝底及右侧鞍旁病变呈明显不均匀强化，边界不清，右侧蝶骨及颞骨不均匀强化，右侧颞部脑膜强化。初步诊断：鼻咽部恶性肿瘤。

手术所见：结合患者病情，行“鼻内镜右侧鼻窦手术+鼻中隔矫正术+中鼻甲部分切除术+鼻炎肿物活检”，粘膜刀于棘突前部5mm处自上向下弧形切开粘骨膜，剥离子潜行分离右侧粘骨膜和骨质，分离范围超过偏曲部分，于上述切口向后约2mm处切开软骨，分离对侧粘骨膜和骨质，范围大致同左侧，去除偏曲的骨质，查鼻中隔已矫正。清理术腔，对位缝合切口。中甲剪剪除部分右侧肥大中鼻甲外侧，见泡性中鼻甲。鼻内镜下打开右侧筛泡，开放前组和后组筛窦，暴露右侧蝶突自然开口，用咬钳扩大右侧蝶突开口。见新生物位于右侧蝶突外下部。色淡红，质脆。取部分新生物送常规病理。病理所见：肉眼见灰红碎组织一堆，大小 $2\text{ cm} \times 1\text{ cm} \times 0.3\text{ cm}$ 。免疫组化：EMA(-), CK(+)，

作者单位：450052 郑州，郑州大学第一附属医院磁共振科

作者简介：王莹莹(1992—)，女，河南郑州人，硕士，主要从事脑梗死患者的脑功能与脑结构研究。

通讯作者：程敬亮，E-mail:cjr.chjl@vip.163.com

CK5/6(—), P63(—), P40(—), HCG(—), Ki-67(约 80%+), S-100(—), SMA(—), Desmin(—), Vimentin(+), CK8/18(灶+), CKL(+), Syn(—), CD56(—), Nestin(—), CD57(—)。病理诊断(图 5~6): (右鼻咽)恶性肿瘤,符合肉瘤样癌。

讨论 肉瘤样癌(sarcomatoid carcinoma)是临床较为少见的恶性肿瘤,常发生于肺、食管、乳腺、喉、胆囊,鼻咽部较罕见。肉瘤样癌组织学上一般兼有上皮和肉瘤样间质两种成分,上皮成分以鳞状细胞癌为主,肉瘤样间质成分由梭形细胞构成,排列杂乱无章或交织成束^[1-2]。肉瘤样癌分化程度低,恶性程度高,易早期发生侵袭、转移,预后不良。文献报道免疫组化染色肉瘤样癌增殖指数 Ki-67 呈高表达,部分同时表达 EMA、Vimentin 阳性^[3]。肉瘤样癌的 Ki-67 表达明显高于单纯的恶性上皮细胞癌,且恶性程度与 Ki-67 增殖活性呈正相关,Ki-67 值越高,肉瘤样癌的恶性程度越高,预后越差^[4]。

有文献报道,鼻咽肉瘤样癌在 CT 上显示瘤体侵蚀骨质,呈等密度或稍高密度,且瘤体内密度不均匀,可见低密度斑块^[5];MRI 显示该肿瘤表现为等 T₁ 长 T₂ 信号,瘤体信号欠均匀,内可见斑片状高信号影,瘤体内骨质破坏呈低信号^[6];CT 检查显示骨质病变较准确,MRI 则可更好显示肿瘤的侵犯部位^[7],二者结合可大致评估肿瘤的良恶性,如需明确组织学性质,仍要依靠病理学检查。

鉴别诊断:①鼻咽部鳞状细胞癌:多发于老年人,CT 显示完全溶骨性骨质破坏,甚至骨质轮廓完全消失,MRI 增强扫描中度强化,程度无肉瘤样癌明显;②

鼻咽部腺样囊性癌:肿瘤内多见囊变,MRI 显示呈等 T₁ 等 T₂ 信号影,信号不均匀,部分肿瘤可见延神经生长^[5];③鼻咽部横纹肌肉瘤:好发于青少年,CT 检查显示瘤体密度不均匀,边缘不规则,其内可见不规则片状或条片状密度略高区,其密度与邻近肌肉一致,并有周边骨质破坏^[8];④鼻咽部恶性黑色素瘤:肿瘤较小时 T₁ WI 呈高信号,T₂ WI 呈低信号,肿瘤较大时 MRI 信号混杂,这是由肿瘤内黑色素含量的不同以及是否伴有出血导致的^[9]。

参考文献:

- [1] 方镜华,林雪平.肉瘤样癌及癌肉瘤的新认识[J].肿瘤研究与临床,2005,17(2):138-139.
- [2] 庞颖,夏黎明,曾祥芹,等.肺肉瘤样癌的影像学表现[J].放射学实践,2011,26(2):168-171.
- [3] 秦燕子,欧玉荣,马莉,等.胆囊肉瘤样癌 6 例及文献复习[J].中国肿瘤临床,2015,42(4):247-250.
- [4] Kubota K, Kakuta Y, Kawamura S, et al. Undifferentiated spindle-cell carcinoma of the gallbladder: an immunohistochemical study [J]. J Hepatobiliary Pancreat Surg, 2006, 13(5): 468-471.
- [5] 朱庆强,朱文荣,吴晶涛,等.鼻窦肉瘤样癌的 CT 和 MRI 表现[J].中华放射学杂志,2014,48(2):155-157.
- [6] Thorup C, Sebbesen L, Dan H, et al. Carcinoma of the nasal cavity and paranasal sinuses in Denmark 1995-2004[J]. Acta Oncol, 2010 (49): 389-394.
- [7] 邓克学.鼻咽横纹肌肉瘤的 CT 诊断[J].实用放射学杂志,2001,17(12):932-933.
- [8] 薛元领,满凤媛,鲜军舫.鼻腔鼻窦横纹肌肉瘤的诊断[J].中国医学影像技术,2003,19(4):412-414.
- [9] 张青,王振常,鲜军舫.鼻道、鼻咽恶性黑色素瘤的 MRI 诊断[J].中华放射学杂志,2010,45(10):947-950.

(收稿日期:2020-03-07 修回日期:2020-06-08)